

準對數週期形廣帶域マイクロストリップアンテナ設計

(Design of a Wideband Quasi-Log - Periodic Microstrip Antenna)

李文秀,* 李相高**

(Mun Soo Lee and Sang Seol Lee)

要 約

圓板形マイクロストリップパッチを基本素子として用いて、準對數週期形廣帶域マイクロストリップアンテナを設計する。各放射素子は開放端の主給電マイクロストリップ線路上に直列接続され、整合線路を通じて直列給電される。

設計製作されたアンテナの定在波比は周波数 2.72~3.43GHz の範囲内において約 2.3 以下となる。実験的結果が示された。

Abstract

A wide band quasi-log periodic microstrip antenna is designed using circular-disc microstrip patches as a basic radiator.

The radiating elements are series-fed by a coplanar feeding network which consists of an open circuited feed line with a branch line connected to each radiating element.

Experiment results show that the values of VSWR are less than 2.3 over the range of 2.72~3.43 GHz.

I. 序論

マイクロストリップアンテナの基本素子は正方形、矩形、圓形、橢圓形、ダイヤモンド形等があり、解析と製作上の容易性から正方形と圓形が主に使用されている。

このマイクロストリップアンテナ素子は放射効率が高く、帯域幅が広く、短点がある反面で小型化、軽量化、平面性、印刷回路化等の利點があり、航空機、宇宙船等に使用可能である。

マイクロストリップアンテナ素子の主要な短点は狭帯域性を改善するため多層形アンテナ、スパイラル

(spiral)アンテナ、対数周期形アンテナ等 여러 가지アンテナが開発されている。

H. Pues^[1]は正方形マイクロストリップパッチ(patch)を基本素子として対数周期的に配分された共振周波数をもつ複数の素子を主給電線路上に配置して、廣帶域アンテナを実現した。

本論文では圓板形マイクロストリップパッチを基本素子として、準對數週期形(quasi-log-periodic)廣帶域アンテナを設計・製作し、入力インピーダンスとリターンロス(return-loss)の周波数特性、放射パターント、電力利得等を実験的に考察する。

II. 圓板形マイクロストリップパッチアンテナ

* 正会員、濟州大學校通信工學科

(Dept. of Communication Eng., Jeju National Univ.)

** 正会員、漢陽大學校工科大學電子通信工學科

(Dept. of Electronic Comm. Eng., Hanyang Univ.)

接受日字：1983年3月31日

1. 放射電界

図1과 같이接地板과 두께 h 인誘電體板 위에高さ a 인半径 a 인圓板形マイクロストリップパッチドレーレを側面으로するキャビティ(cavity)内の電界と磁界は、

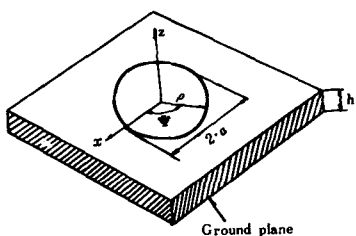


그림 1. 원판형 마이크로스트립 패치 안테나
Fig. 1. Circular disc microstrip patch antenna.
음식으로 주어진다.^[2]

$$E_z = E_o \cdot J_n(k \cdot \rho) \cdot \cos n\psi$$

$$H_\rho = -\frac{j\omega\epsilon_n}{k^2 \cdot \rho} \cdot E_o \cdot J_n(k \cdot \rho) \sin n\psi$$

$$H_\psi = -\frac{j\omega\epsilon}{k} \cdot E_o \cdot J_n(k \cdot \rho) \cdot \cos n\psi \quad (1)$$

여기서 k 는 誘電體內의 伝播常數, J_n 은 第1種 n 次 Bessel函數, ($'$)는 $(k \cdot \rho)$ 에 對한 微分, $E_o \cdot J_n(k \cdot a)$ 는 캐비티 側面의 電界로서 誘電體板의 두께가 波長에 比해 아주 작은 경우에는 一定하다고 본다.

圓板形 마이크로스트립 패치 안테나로부터 放射되는 電界는 다음과 같다.^[3]

$$E_\theta = -j^n \cdot k_o \frac{e^{-jk_0r}}{r} \cdot \frac{V_o a}{2} \cdot B_M(k_o a \sin \theta) \cdot \cos n\phi$$

$$E_\phi = j^n \cdot k_o \frac{e^{-jk_0r}}{r} \cdot \frac{V_o a}{2} \cdot B_P(k_o a \sin \theta) \cdot \cos \theta \cdot \sin n\phi \quad (2)$$

여기서 V_o 는 給電點 ($\psi=0$, $\rho=a$) 的 電壓으로 $V_o = h E_o J_n(k_o a)$ 이고,

$$\begin{aligned} B_M(k_o a \sin \theta) &= J_{n-1}(k_o a \sin \theta) + J_{n+1}(k_o a \sin \theta) \\ B_P(k_o a \sin \theta) &= J_{n-1}(k_o a \sin \theta) - J_{n+1}(k_o a \sin \theta) \end{aligned} \quad (3)$$

이다.

2. 共振周波數와 等價半徑

圓板形 마이크로스트립 패치 안테나의 TM_{nm} 모드의 共振周波數 f_{nm} 은

$$\alpha_{nm} = \frac{f_{nm} C_0}{2\pi a_e \sqrt{\epsilon_r}} \quad (4)$$

이다. 여기서 α_{nm} 은 第1種 n 次 Bessel函數의 m 番째

根이고 C_0 는 光速度, ϵ_r 은 誘電體板의 比誘電率, a_e 는 圓板形 마이크로스트립 패치 周邊의 fringing field를 考慮할 때의 等價半徑으로 實際半徑 a 와의 關係는 $a/h \gg 1$ 일때 다음과 같다.^[4]

$$a_e = a \left[1 + \frac{2h}{\pi a \epsilon_r} \left(\ln \frac{\pi a}{2h} + 1.7726 \right) \right]^{\frac{1}{2}} \quad (5)$$

3. 入力 임피던스

圓板形 마이크로스트립 패치 안테나의 給電點을 그림 1의 $\psi=0$ 인 半徑上에서 $x=\rho$ ($0 \leq \rho \leq a$) 되는 點에 두었을 때 入力 임피던스 $Z_{in}(\rho)$ 는^[5]

$$Z_{in}(\rho) = \frac{1}{G} \frac{J_n^2(k \cdot \rho)}{J_n^2(k \cdot a)} \quad (6)$$

이고 給電點을 周邊 ($\rho=a$)에 두었을 때 入力 임피던스는

$$Z_{in}(a) = \frac{1}{G} = R \quad (7)$$

이다. 여기서 R 은 예지給電 (edge feeding)을 할 때 圆板形 패치의 總 入力 抵抗으로, 放射抵抗을 R_r , 誘電體抵抗을 R_d , 導體板의 音 損失抵抗을 R_c 라 하면

$$\frac{1}{R} = \frac{1}{R_r} + \frac{1}{R_d} + \frac{1}{R_c} \quad (8)$$

의 關係가 있고 R_r , R_d , R_c 는 다음의 式으로 表現된다.^[5]

$$R_r = \left[\epsilon_{no} \frac{(k_o a)^2}{480} \int_0^\pi \{B_M^2(k_o a \sin \theta) + \cos^2 \theta B_P^2 \cdot (k_o a \sin \theta) \} \sin \theta d\theta \right]^{-1} \quad (9)$$

$$R_d = \left[\frac{\epsilon_{no} \tan \delta}{4 \mu_0 h f_{nm}} \{ (k_o \cdot a)^2 - n^2 \} \right]^{-1} \quad (10)$$

$$R_c = \left[\frac{\epsilon_{no} \pi}{4 h^2 \sqrt{\sigma}} (\pi f_{nm} \mu_0)^{-3/2} \{ (k_o \cdot a)^2 - n^2 \} \right]^{-1} \quad (11)$$

4. 패치의 Q와 帶域幅

圓板形 마이크로스트립 패치는 並列共振回路로 모델링 수 있으며 靜電容量 C 와 quality factor Q 는 다음 式으로 주어진다.

$$C = \frac{\epsilon_0 \epsilon_r \pi a_e^2}{2h} \quad (12)$$

$$Q = 2\pi f_r R C \quad (13)$$

圓板形 마이크로스트립 패치의 入力 임피던스의 周波數 特性을 共振周波數 f_r , Q , R 로 表現하면

$$Z_{in}(f) = \frac{R}{1+jQ} \left(\frac{f_r}{f_r - f} \right) \quad (14)$$

이고 使用周波數 帶域內의 最大 許容定在波比를 S라 할 때 帶域幅 BW는

$$BW = \frac{1}{Q} \frac{S-1}{\sqrt{S}} \times 100 [\%] \quad (15)$$

이다.

III. 안테나 設計

共振周波數가 對數 週期的으로 配分(配分係數 q) 된 여러개의 圓板形 마이크로스트리ップ 패치를 主給電 마이크로스트리ップ線路(特性 임피던스 50Ω)에 그림 2와 같이 配列시켜 準 對數 週期形 안테나를 實現 할 수 있다. 여기서 準 對數 週期形이라함은 各 圓板形 패치의 共振周波數는 對數 週期的으로 配分되어 있으나 안테나가 均一한 基板위에 製作되고 給電線路上의 各 패치의 위치가 對數 週期的으로 되어 있지 않음을 뜻한다.

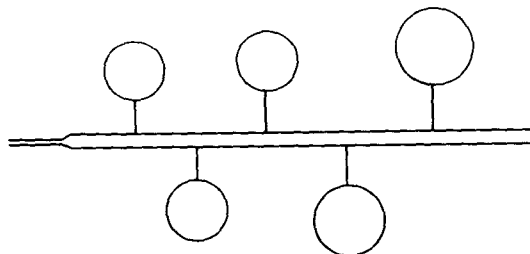


그림 2. 제작된 안테나 모양

Fig. 2. Picture of the fabricated antenna.

周波數 配分係數 q는 各 圓板形 패치의 帶域幅과 最大 許容定在波比, 이웃하는 패치사이의 共振周波數 간격을 考慮하여 定한다.

S-밴드用 廣帶域 안테나를 設計하기 위해 周波數 配分係數 q를 0.95(q 가 0.95보다 크면 帶域內의 整合狀態는 改善되나 素子數가 增加되고 0.95보다 작으면 整合狀態는 나빠지나 素子數가 줄어든다)로 하였을 때 各 素子의 共振周波數(TM₁₁ mode), 等價半徑, 實際半徑, 임피던스 等을 컴퓨터를 利用하여 구한結果는 표 1과 같다.

各 안테나 素子의 位置는 主給電線路의 開放 終端으로 부터 $\frac{n\lambda_m}{2}$ ($n=1, 2, 3, 4, 5$)의 位置에 配列하고 안테나 素子와 主給電線路간에 임피던스 整合用 $\frac{\lambda_m}{4}$ 線路를 둔다. λ_g 는 實效波長으로 自由空

표 1. 안테나 소자특성의 계산치

Table 1. Calculated values of the characteristics of the antenna elements.

No.	f_r (GHz)	a (mm)	R_r (Ω)	R (Ω)	C (PF)	Q
1	2.68	19.8	454	377	9.86	63
2	2.82	18.8	454	381	8.90	60
3	2.97	17.8	454	385	8.03	58
4	3.13	16.9	454	389	7.23	55
5	3.29	16.0	454	392	6.54	53
$h=1.516\text{mm}, \tan \delta=0.0018, \epsilon_r=2.5$						

間 波長 λ_0 와는

$$\lambda_g = \frac{\lambda_0}{\sqrt{\epsilon_{eff}(f)}} \quad (16)$$

의 關係가 있으며 分散效果(dispersion effect)를 考慮할 때 實效誘電率 $\epsilon_{eff}(f)$ 는

$$\epsilon_{eff}(f) = \epsilon_r - \frac{\epsilon_r - \epsilon_{eff}}{1 + G \cdot \left(\frac{f}{f_p}\right)^2}$$

$$\epsilon_{eff}(f) = \epsilon_r - \frac{\epsilon_r - \epsilon_{eff}}{1 + G \cdot \left(\frac{f}{f_p}\right)^2} \quad (17)$$

로 된다. 여기서 $f_p = \frac{Z_0}{2\mu_0 h}$, $G = \left(\frac{Z_0 - 5}{60}\right)^{\frac{1}{2}} + 0.004Z_0$

$$\epsilon_{eff} = \frac{\epsilon_r + 1}{2} \left[1 - \frac{1}{2H'} \frac{\epsilon_r - 1}{\epsilon_r + 1} \right] \left(\ln \frac{\pi}{2} + \frac{1}{\epsilon_r} \ln \frac{4}{\pi} \right) \quad (18)$$

$$H' = \frac{Z_0 \sqrt{2(\epsilon_r + 1)}}{119.9} + \frac{1}{2} \left(\frac{\epsilon_r - 1}{\epsilon_r + 1} \right) \left(\ln \frac{\pi}{2} + \frac{1}{\epsilon_r} \ln \frac{4}{\pi} \right)$$

이다.

主給電線路의 開放 終端에서 終端効果(end effect)를 考慮할 때, n 번째 안테나 素子의 位置 $\frac{n\lambda_m}{2}$ 에서 다음과 式으로 주어지는 等價終端効果長(equivalent end effect length) Leo 만큼 減해야 한다.

$$Leo = 0.412h \left(\frac{\epsilon_{eff} + 0.3}{\epsilon_{eff} - 0.258} \right) \left(\frac{W/h + 0.262}{W/h + 0.813} \right) \quad (18)$$

한편 主給電線路와 $\frac{\lambda}{4}$ 整合線路의 폭 W는, $\frac{W}{h} \leq 2$ 인 경우

$$W = \frac{8 \operatorname{hexp}(A)}{\operatorname{exp}(2A) - 2} \quad (19)$$

$\frac{W}{h} \geq 2$ 일 경우

$$W = \frac{2h}{\lambda} \left[B - 1 - \ln(2B-1) + \frac{\epsilon_r - 1}{2\epsilon_r} \left[\ln(B-1) + 0.39 - \frac{0.61}{\epsilon_r} \right] \right] \quad (20)$$

여기서

$$A = \frac{Z_0}{60} \left(\frac{\epsilon_r + 1}{2} \right)^{\frac{1}{2}} + \frac{\epsilon_r - 1}{\epsilon_r + 1} \left(0.23 + \frac{0.61}{\epsilon_r} \right)$$

$$B = \frac{60\pi^2}{Z_0\sqrt{\epsilon_r}}$$

이며, Z_0 는 線路의 特性 임피던스이다.

主給電線路와 $\frac{\lambda}{4}$ 整合線路에 對한 設計值는 표 2 와 같다.

표 2. 마이크로스트립 선로의 설계치

Table 2. Design values of microstrip lines.

No.	f _r (GHz)	λ_g (mm)	$W\frac{\lambda}{4}$ (mm)	$Z_0\frac{\lambda}{4}$ (Ω)
1	2.68	81.4	0.53	137
2	2.82	76.4	0.52	138
3	2.97	72.5	0.51	139
4	3.13	68.7	0.50	139.4
5	3.29	64.4	0.49	140

W_{main}=4.36mm, L_{eo}=0.69mm

된다고 생각된다.

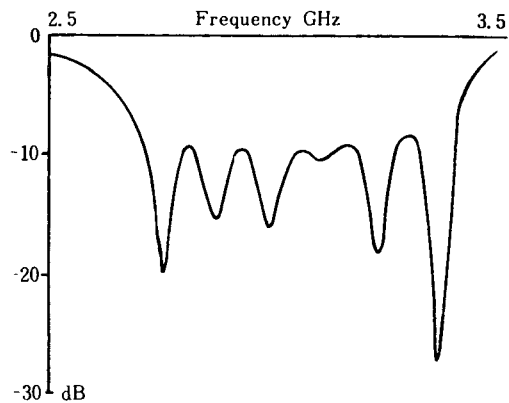
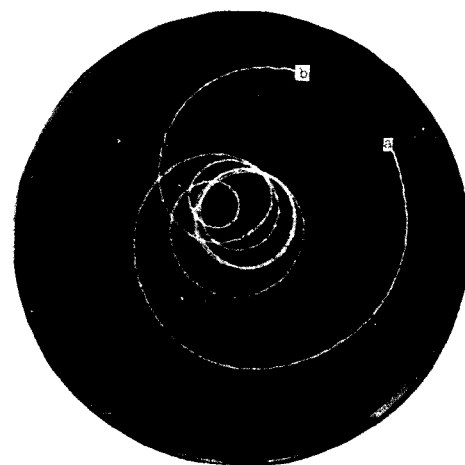


그림 3. 리턴로스의 주파수 특성

Fig. 3. Frequency response of return loss.

周波數 2.5~3.5 GHz 範圍에서 안테나의 入力 임피던스를 測定한 結果는 그림 4 와 같다.



a : 2.5 GHz b : 3.5 GHz

그림 4. 안테나 입력 임피던스의 주파수 특성

Fig. 4. Input impedance loci of the antenna.

整合狀態가 가장 좋은 周波數(3.39 GHz)와 가장 나쁜 周波數(3.32 GHz)에서 E面 및 H面 패턴을 測定한 結果는 그림 5 와 같다.

다이폴 안테나를 基準으로 하여 電力利得을 測定한 結果는 3.39 GHz에서 10.5 dB, 3.32 GHz에서 4.5 dB

V. 結論

안테나 리턴로스(return loss)의 周波數特性을 測定한 結果는 그림 3 과 같다. 反射는 3.32 GHz에서 가장 크게 나타났고 이 周波數에서 리턴로스는 -8dB, 定在波比는 2.3이다. 最大許容 定在波比 2.3 以下로 되는 周波數範圍은 2.72~3.34GHz로서 帶域幅이 약 23%로 되어 패치 하나의 帶域幅(1.2~1.5%)에 比해 크게增加되었다. 그러나 反射가 가장 적게 될共振周波數은 設計值와 다르게 나타나는데 이것은 패치相互間의結合, 設計值의 理論的誤差, 特히 $\frac{\lambda}{4}$ 整合線路幅이 設計值대로 正確히 製作되지 못한點 等에 起因

圓板型 마이크로스트립 패치를 基本 素子로 하여 S-밴드用 準對數週期形 廣對域 안테나를 設計하고

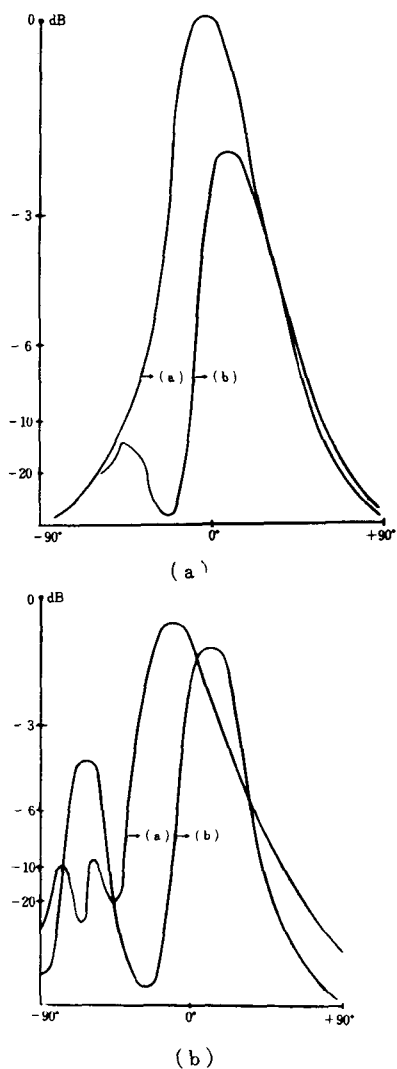


그림 5. 방사패턴 (a) H-면 패턴 (b) E-면 패턴

Fig. 5. Radiation patterns.

(a) H-plane (b) E-plane

a : 3.39 GHz, b : 3.32 GHz.

製作하여 리턴로스를測定한結果 2.73~3.43 GHz의周波數範圍에서定在波比가 2.3以下로되었다.本アンテ나는圓板形マイクロストリップ패치5개를使用한アレイアンテナ로서 약 23%의廣帶域整合特性(最大許容定在波比를 2.3으로 할 때)을 얻었고 어레이效果로因하여電力利得도 크게增加하였다.

안테나製作을보다正確히한다면共振周波數도設計值에 좀더接近할 것으로 생각된다.

参考文献

- [1] H. pues Ir, "Wideband quasi-log-periodic microstrip antenna," *IEE Proc*, vol. 128, pt. H, no. 3, pp. 159-163, June 1981.
- [2] J. Watkins, "Circular resonant structures in microstrip," *Electron. Lett.*, vol. 5, pp. 524-525, Oct. 1969.
- [3] E. J. Martin, "Radiation fields of circular loop antennas by a direct integration process," *IRE Trans. Antennas Propagat*, vol. Ap-8, pp. 105-107, Jan. 1960
- [4] I. Wolff and N. Knoppik, "Rectangular and circular microstrip disk capacitors and resonators," *IEEE Trans. MTT-22*, pp. 857-864, 1974.
- [5] Anders G. Derneryd, "Analysis of the microstrip disk antenna element," *IEEE Trans. Antennas and Propagat*, vol. Ap-27, no. 5, pp. 660-664, Sep. 1979.